

## مدول برشی حداکثر و نسبت میرایی ماسه و شن داسیتی

عطا آقایی آرای؛ مرکز تحقیقات راه، مسکن و شهرسازی

تاریخ: دریافت ۹۲/۲/۳ پذیرش ۹۴/۱/۱۸

### چکیده

از بین پارامترهای دینامیکی، مدول برشی حداکثر و نسبت میرایی مصالح اهمیت زیادی در تحلیل‌های دینامیکی دارند. در این مقاله برای اندازه‌گیری مدول برشی حداکثر و نسبت میرایی مصالح ماسه‌ای و شنی داسیتی از GAP-SENSOR با فرکانس پاسخ زیاد (۲۰ kHz) در دستگاه سه‌محوری سیکلی استفاده شد. روش کار این دستگاه بدین‌صورت است که ابتدا ضربه‌ای ضعیف به کلاهک بالای نمونه زده می‌شود و تاریخچه زمانی جابه‌جایی‌های خفیف حاصل در جهت افقی و قائم (کرنشی در حدود  $10^{-6}$ ) با دستگاه ثبت داده با میزان نمونه‌گیری ۱۰۰۰۰۰ داده در هر ثانیه برای هر کانال ثبت می‌شود. با معلوم بودن زمان رسیدن موج بین دو حس‌گر و اندازه‌گیری فاصله آن‌ها، سرعت موج به دست می‌آید. در نهایت با محاسبه ضریب پواسون از طریق اندازه‌گیری کرنش‌های افقی و قائم، مدول برشی حداکثر مصالح به دست می‌آید. نتایج نشان می‌دهد که سرعت موج با افزایش تنش محدودکننده افزایش یافته و مقدار آن به اندازه دانه‌ها بستگی دارد. همچنین با استفاده از تکنیک کاهش دامنه ارتعاش در ترازهای مختلف نمونه، مقدار نسبت میرایی ناشی از ضربه محاسبه شد. مقایسه نتایج مدول برشی و نسبت میرایی با به‌کارگیری GAP-SENSOR با نتایج آزمایش‌های سه‌محوری سیکلی روی مصالح بررسی شده، مؤید دقت مناسب روش ارائه شده است.

واژه‌های کلیدی: GAP-SENSOR، مدول برشی حداکثر، نسبت میرایی، داسیت

\* نویسنده مسئول aghaeiarai@bhrc.ac.ir

### مقدمه

اندازه‌گیری خواص دینامیکی خاک، در مسائل ژئوتکنیک لرزه‌ای امری مهم و حساس است. خواصی از خاک مانند سختی، میرایی، ضریب پواسن و دانسیته، پدیده انتشار امواج و سایر پدیده‌های کرنش کوچک را تحت تأثیر قرار می‌دهند. از بین آن‌ها سختی و میرایی مهم‌تر است و مابقی تأثیر کم‌تری داشته و معمولاً در محدوده‌ای کوچک تغییر می‌کنند.

پژوهش‌گران زیادی پارامترهای مؤثر بر مدول برشی حداکثر، نسبت مدول برشی و نسبت میرایی را بررسی کرده‌اند [۶]، [۱۱]، [۱۵]، [۱۷]–[۲۳]. این پارامترها عبارتند از: تنش محدودکننده، تعداد سیکل یا تاریخچه کرنش، دست‌خوردگی، درصد ریزدانه، درصد شن، دانسیته نسبی، فرکانس بارگذاری، شرایط زه‌کشی، شکل بارگذاری، غیرهم‌سانی، نوع خاک، شکل دانه‌ها، مقدار شاخص خمیری و حتی دستگاه انجام آزمایش. اثر سرعت بارگذاری در کرنش‌های کوچک با اهمیت است. در کرنش‌های بزرگ ممکن است به‌علت رفتار غیرخطی، سرعت بارگذاری، تعداد سیکل‌ها و خصوصیات تغییرحجم با اهمیت شود.

بخش زیادی از کارهای آزمایشگاهی بر تعیین مدول برشی خاک‌های دانه‌ای مختلف در تراز کرنش‌های پایین متمرکز شده است. این مدول، مدول برشی حداکثر نامیده می‌شود و با  $G_{max}$  یا  $G_0$  نمایش می‌دهند. سرعت انتشار امواج از میان یک محیط، به‌طور مستقیم متناسب با سختی و نسبت معکوس با دانسیته آن است. از این رو، اندازه‌گیری سرعت موج برشی، اجازه به‌دست آوردن اطلاعات مهمی راجع به مصالح دانه‌ای و تفسیر فرایندهای آن را فراهم می‌کند [۸]، [۱۳]، [۱۶]. سرعت موج برشی  $V_s$  وابسته به مدول برشی خاک است که تنها وابسته به سختی برشی اسکلت است و متأثر از سختی حجمی مایع حفره‌ای نیست. مدول برشی و حجمی خاک وابسته به سختی کانی‌ها، فازهای هوا و آب، پوکی، درجه اشباع، بزرگی نیروهای بین‌دانه‌ای، و هرگونه تماس بین دانه‌های کانی هستند [۱۳]، [۱۴]. تئوری انتشار امواج و مدل‌های ترکیبی نشان می‌دهد که هر دو سرعت موج P (موج طولی) به S (موج برشی)، با پارامترهای یک‌سان محیط متخلخل به هم مرتبط هستند [۹]. نمونه‌ای از نسبت سرعت موج P به S برای ضریب پواسن بین ۰/۱ تا ۰/۳۱ و بین ۱/۵ تا ۱/۹ است.

آزمایش‌های اندکی خواص خاک‌ها را در کرنش‌های کوچک تعیین می‌کنند که عبارتند از: آزمایش ستون تشدید، آزمایش نوسان اولتراسونیک، آزمایش المان خمشی پیزوالکتریک و استفاده از شتاب‌سنج. قابلیت نداشتن بعضی از وسایل مثل المان خمشی به علت آسیب‌پذیر بودن سر صفحه ارتعاش، از مشکلات مربوط در اندازه‌گیری این پارامتر در مصالح دانه‌ای و شنی است. هم‌چنین می‌توان به مشکلات در تعیین زمان دقیق رسیدن موج، محدودیت ابعادی و فرکانس بارگذاری آزمایش ستون تشدید برای دانه‌های بزرگ شن سنگ‌ریزه‌ای، فرکانس کم ( $2\text{kHz}$ ) و نوفه زیاد و امکان نداشتن اندازه‌گیری مستقیم ضریب پواسن در روش استفاده از شتاب‌سنج‌ها اشاره کرد.

اخیراً روش آزمایش استاندارد برای تعیین خواص مدول برشی و میرایی خاک‌ها با استفاده از دستگاه سه‌محوری برای مصالح ژئوتکنیکی خیلی متداول شده است. مشکل اساسی این روش خطای شدید در اندازه‌گیری کرنش محوری و محدوده قابل اندازه‌گیری کرنش‌ها است. با اندازه‌گیری کرنش موضعی در سطح جانبی نمونه با استفاده از کرنش‌سنج‌های غیرتماسی و یا  $LDT^1$  تا حدودی می‌توان خطای ناشی از اندازه‌گیری کرنش‌ها و در نتیجه میرایی ناشی از تراز نبودن سرهای نمونه و نقص اتصال بین نمونه و کلاهک را کاهش داد. در روش استفاده از حس‌گرهای جابه‌جایی سنج غیرتماسی، مدول برشی در کرنش حدود  $10^{-5}$  اندازه‌گیری شده و مقادیر نظیر کرنش  $10^{-6}$  برون‌یابی می‌شود.  $LDT$  به صورت موضعی روی غشاهای به‌کاربرنده با ضخامت بیش از ۲ میلی‌متر و هم‌چنین فرکانس بسیار کم ( $120\text{ Hz}$ ) سر می‌خورد و کاربری آن‌ها را در حالت اعمال تنش محدودکننده از طریق مکش برای مصالح شنی سنگ‌ریزه‌ای محدود می‌کند. از مکش برای اعمال تنش محدودکننده بر نمونه در دستگاه سه‌محوری مکرر در بررسی‌ها استفاده می‌شود [۷].

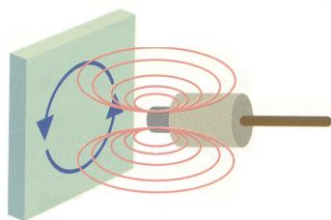
اندازه‌گیری سرعت موج با استفاده از  $GAP-SENSOR$  با فرکانس پاسخ بالا اخیراً روی تعدادی نمونه بزرگ مقیاس انجام شده است که سه‌محوری، مصالح سبک‌وزن، تیزگوشه گل‌سنگی، ماسه توپورا، خرده لاستیک و درصدهای مختلف اختلاط ماسه با خرده لاستیک دارد

1 . Local Deformation Transducer

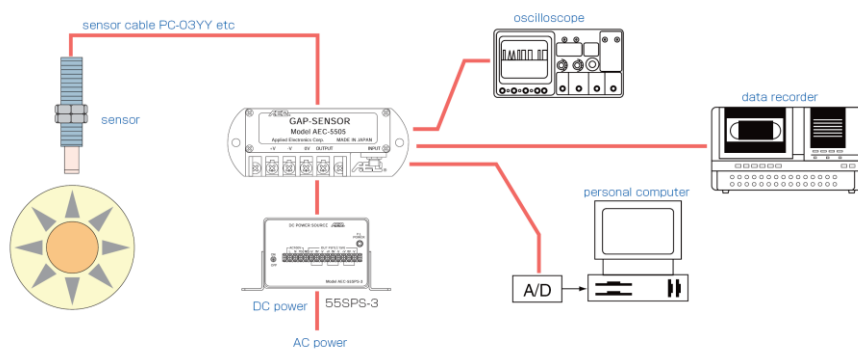
و نتایج حاصل با نتایج مدول یانگ حاصل از برون‌یابی در کرنش‌های کوچک آزمایش‌های سه‌محوری سیکلی و هم‌چنین با مقادیر موجود در ادبیات فنی مقایسه شده‌است [۲۰]، [۲۱]. نتایج حاکی از دقت بسیار مناسب روش ابداعی است. از این رو، این تحقیق امکان به‌کارگیری حس‌گر غیرتماسی (GAP-SENSOR) با فرکانس پاسخ زیاد (حدود ۲۰ کیلوهرتز) را برای اندازه‌گیری مقادیر مدول یانگ (یا برشی) و میرایی برای دیگر مصالح درشت‌دانه مثل داسیت ماسه‌ای و شنی بررسی می‌کند و با نتایج آزمایش‌های سه‌محوری سیکلی مقایسه می‌شود.

### نحوه کارکرد GAP-SENSOR در تعیین سرعت موج حداکثر و میرایی

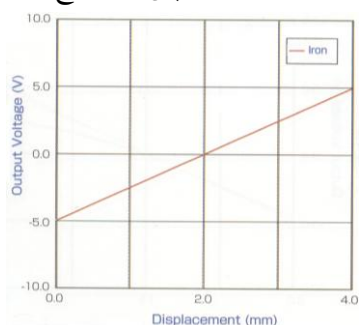
در شکل ۱ اصول کارکرد GAP-SENSOR نشان داده شده‌است. جریانی با فرکانس زیاد به دستگاه اندازه‌گیر داخل سر حس‌گر برای ایجاد میدان الکترومغناطیسی فرکانس زیاد به‌کار گرفته می‌شود. زمانی که یک صفحه هدف (ماده رسانا یا مغناطیس) به این میدان الکترومغناطیسی نزدیک می‌شود جریانی گردابی در سطح صفحه هدف تولید می‌شود و مقاومت (امپدانس) کوئل حس‌گر شارژ می‌شود. سیستم حس‌گر تغییر در نوسان مقاومت حاصل از این پدیده را تشخیص داده و از آن برای تعیین رابطه بین جابه‌جایی و ولتاژ استفاده می‌کند. در شکل ۲ قطعات تشکیل‌دهنده دستگاه نشان داده شده‌است. در این روش تاریخچه زمانی جابه‌جایی در دو حس‌گر غیرتماسی با میزان نمونه‌گیری یک صد هزارم ثانیه اندازه‌گیری می‌شود که داده‌های حاصل نویز کمی دارند. این امر سبب تشخیص آسان زمان رسیدن موج در حس‌گر اندازه‌گیری برای کرنش‌های بسیار کوچک لازم، می‌شود. شکل ۳ رابطه بین ولتاژ خروجی و جابه‌جایی در محدوده خطی را نشان می‌دهد. فاصله قابل اندازه‌گیری با این حس‌گر حدود ۴ mm برای صفحه آهنی است



شکل ۱. اصول کارکرد GAP-SENSOR



شکل ۲. چگونگی اتصال GAP-SENSOR، آمپلی فایر، منبع برق و دستگاه ثبت داده‌ها به هم



شکل ۳. رابطه بین ولتاژ خروجی و جابه‌جایی در محدوده خطی

اجزای تشکیل‌دهنده دستگاه شامل GAP-SENSOR از نوع PU09، کابل از نوع PC-03YY، آمپلی‌فایر از نوع AEC 5509، منبع برق از نوع AEC-55 SPS-3 هستند. شکل ۳ چگونگی اتصال اجزا مختلف شامل GAP-SENSOR، آمپلی فایر، منبع برق و دستگاه ثبت داده‌ها را نشان می‌دهد. چنان‌که ملاحظه می‌شود GAP-SENSOR قرار گرفته شده در مقابل صفحه هدف، به آمپلی‌فایر وصل می‌شود. آمپلی‌فایر به منبع برق متصل و خروجی آمپلی‌فایر به دستگاه ثبت داده وصل می‌شود.

### دستگاه ثبت داده‌ها برای اندازه‌گیری سرعت موج و میرایی

برای ثبت سریع و دقیق داده‌ها، نمی‌توان از دستگاه‌های ثبت داده دینامیکی معمولی استفاده کرد. با توجه به سهولت آزمایش و ضرورت انجام آزمایش به وسیله یک نفر و همچنین قابلیت‌های فنی مورد نیاز، در این پژوهش از دستگاه ثبت داده ZR-MDR10 ساخت شرکت

OMRON کشور ژاپن استفاده شده است که قادر است تغییرات ولتاژ تا ۱۰- و ۱۰+ ولت را ثبت کند. وزن دستگاه کم‌تر از ۱ کیلوگرم است و با باتری قلمی کار می‌کند. این دستگاه ۸ کانال ثبت شده دارد و سرعت نمونه‌گیری آن ۱۰۰ kHz برای هرکانال و زمان لازم برای میزان نمونه‌گیری یاد شده حداکثر ۱۰ ثانیه است. سپس داده‌ها با نرم‌افزاری خاص به نام ZR-SV10 با نام تجاری Smart Viewer به فرمت قابل قبول اکسل تبدیل می‌شود. از قابلیت‌های خاص این نرم‌افزار این است که اختلاف زمانی بین رسیدن امواج را به آسانی می‌توان مشخص کرد.

**تکنیک اندازه‌گیری مدول برشی براساس سرعت انتشار امواج الاستیک در خاک با استفاده از دستگاه اندازه‌گیری مدول برشی حداکثر**

برای اندازه‌گیری سرعت موج در جهت قائم (طولی)، صفحات هدف GAP-SENSORها به صورت افقی و قائم در ترازهای مختلف روی غشای نمونه سه‌محوری ساخته شده از مصالح بررسی شده نصب می‌شود. پس از نصب GAP-SENSOR روی میله رزوه شده، فاصله آن‌ها از صفحات هدف به ۲ میلی‌متر تنظیم می‌شوند. سپس با زدن ضربه‌ای کوچک به سر میله متصل به کلاهک بالای نمونه، تاریخچه زمانی جابه‌جایی‌های حاصل و زمان‌های رسیدن موج در حس‌گرهای مختلف اندازه‌گیری می‌شود. با مشخص بودن فاصله دو حس‌گر ( $L$ ) و زمان رسیدن موج ( $T$ ) مقادیر سرعت موج طولی مهار شده ( $V_p$ ) با استفاده فرمول  $V_p = L/T$  به دست می‌آید. با در دست بودن مقادیر سرعت موج طولی مهار شده و مقدار دانسیته خاک مقدار مدول مهارشدگی<sup>۱</sup> از رابطه  $M = \rho \cdot V_p^2$  به دست می‌آید. رابطه بین مدول مهارشدگی و مدول یانگ بدین صورت است:

$$M = E[(1 - \nu_{ske}) / (1 + \nu_{ske})(1 - 2\nu_{ske})] \quad (1)$$

که  $\nu_{ske}$  ضریب پواسن اسکلت خاک است. با داشتن مقادیر تغییرشکل‌های قائم و افقی با استفاده از GAP-SENSORهای نصب شده در تراز یک‌سان در نقاط مختلف نمونه و با توجه به ابعاد نمونه و موقعیت حس‌گرها، کرنش‌های محوری و شعاعی محاسبه و مقادیر ضریب پواسن قابل اندازه‌گیری است. با در دست بودن مقادیر مدول یانگ ( $E$ ) و  $\nu$  (برابر ضریب پواسن اندازه‌گیری شده کلی) می‌توان مدول برشی را با فرمول (۲) محاسبه کرد:

1. constraint modulus

$$G = E/[2(1+\nu)] \quad (۲)$$

### دستگاه سه محوری استفاده شده و لوازم مورد نیاز برای نصب **GAP-SENSOR** و انجام آزمایش

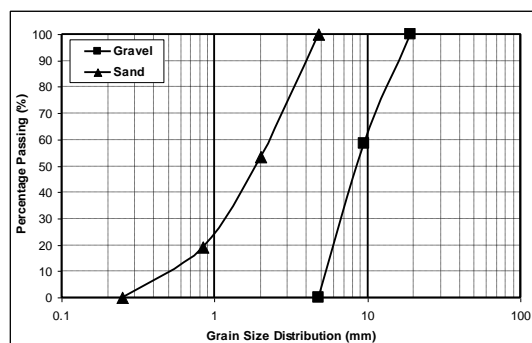
از دستگاه سه محوری سیکلی قطر بزرگ مستقر در آزمایشگاه ژئوتکنیک دانشکده مهندسی عمران دانشگاه توکیو، ژاپن، برای انجام آزمایش‌های سه محوری سیکلی این تحقیق استفاده شده است. این دستگاه دارای یک سیستم بارگذاری دنده-کلاج اتوماتیک با موتور خودکار AC است و توانایی انجام آزمایش‌های مونوتونیک و سیکلی مصالح خاکی و سنگ ریزه‌ای تا قطر ۳۰۰ میلی‌متر را دارد. دستگاه از قطعات مختلفی از جمله قاب بارگذاری عمودی، سیستم کامپیوتری ثبت داده‌ها تشکیل شده است. سیستم بارگذاری در آزمایش‌های سیکلی تنش کنترل است که محدوده میزان کرنش‌های اعمالی بین  $1/1000 \text{ min}^{-1}$  تا  $1/1 \text{ min}^{-1}$  است. برای اندازه‌گیری مقدار بار عمودی اعمال شده به نمونه، از یک نوع سیستم بارگذاری به ظرفیت مجاز ۵ تن در داخل محفظه سه محوری و درست بالای نمونه استفاده می‌شود. برای اندازه‌گیری تغییر طول نمونه، یک حس‌گر از نوع LVDT به ظرفیت ۱۰ mm با دقت  $0.01 \text{ mm}$  روی نمونه قرار داده شده است. تنش محصورکننده از طریق مکش در داخل نمونه اعمال می‌شود. در این دستگاه حداکثر فشار جانبی (از طریق مکش) قابل اعمال بر نمونه‌ها  $1 \text{ kg/cm}^2$  است و برای اندازه‌گیری این فشار از حس‌گری از نوع دیافراگمی به ظرفیت  $10 \text{ kg/cm}^2$  استفاده می‌شود. داده‌ها به یک دستگاه ثبت داده‌ها چند کاناله از طریق آمپلی فایرهای متصل به حس‌گرهای مربوط انتقال داده و ثبت می‌شوند.

به‌علاوه در این تحقیق، از دستگاه سه محوری قطر بزرگ دانشگاه توکیو، دستگاه ابداعی نگارنده برای اندازه‌گیری سرعت موج، نسبت پواسن و ضریب پواسن نصب شده است. بدین ترتیب بعد از ساخت نمونه و بازکردن قالب‌های شکاف‌دار و نگه‌داری نمونه با مکش، از چسب مایع مخصوص برای اتصال صفحات هدف روی غشاء و ایجاد پایه برای صفحات هدف روی غشاء استفاده می‌شود. قطرات چسب نباید روی غشاء جاری شود. چون بعد از خشک شدن در اثر کشش، در غشاء ترک ایجاد می‌شود. برای نصب حس‌گرها باید برای هر

GAP-SENSOR یک میله رزوه شده مجزا به طول حداکثر ۱ متر در اطراف نمونه سه محوری که تنها متصل به نشیمن‌گاه پایه پایین نمونه و یا یک کف صلب است استفاده کرد. برای اتصال حس‌گرها به میله رزوه شده از وسایل اتصال از جنس پلکسی گلاس (به آسانی قابل شکستن باشد)، همراه با جفت مهره‌های مناسب میله رزوه شده استفاده می‌شود. هم‌چنین برای ضربه زدن به میله بارگذاری متصل به کلاهک نمونه به صورت قائم و یا افقی، از چکش سر لاستیکی به وزن حدود ۲/۲ کیلوگرم استفاده می‌شود. جزئیات کامل روش کار با دستگاه ابداعی آقای آرای (۱۳۹۳) ارائه شده است.

### مصالح بررسی شده

در این پژوهش، مصالح درشت‌دانه تیز گوشه شنی و ماسه‌ای (داسیت) انتخاب شده است. منحنی دانه‌بندی مصالح استفاده شده برای ساخت نمونه‌های آزمایشگاهی سه‌محوری در شکل ۴ ارائه شده است. مصالح شنی به کاررفته، برای آزمایش سه‌محوری با حداکثر اندازه دانه ۱۹ mm است. ضمناً تمام مصالح بررسی شده در این تحقیق دانه‌هایی با اندازه بزرگ‌تر از ۰/۲۵ mm هستند.



شکل ۴. دانه‌بندی مصالح داسیت بررسی شده

پیش از ساخت نمونه‌ها، آزمایش‌های  $G_s$  برای محاسبه تخلخل اولیه آزمون (ASTM-12) انجام شده است. نتایج این آزمایش‌ها به ترتیب در جدول‌های ۱ و ۲ ارائه شده است. نتایج نشان می‌دهد که به علت متخلخل بودن دانه‌های مصالح، چگالی و دانسیته خشک حداکثر با افزایش اندازه دانه‌ها کاهش می‌یابند.

جدول ۱. نتایج آزمایش چگالی ( $G_s$ ) مصالح بررسی شده

نام مصالح	$G_s$
داسیت ۰/۲۵mm تا ۱۹ mm	۲/۴
داسیت ۹/۵mm تا ۱۹ mm	۲/۳۵

جدول ۲. نتایج آزمایش دانسیته خشک حداکثر مصالح بررسی شده

نام مصالح	$\gamma_d$ (kN/m <sup>3</sup> )
داسیت ۰/۲۵mm تا ۴/۷۵ mm	۱۵/۵۶
داسیت ۴/۷۵mm تا ۱۹ mm	۱۴/۳۸

هم‌چنین آزمایش سایش لس‌آنجلس براساس استاندارد ASTM C535-12 انجام شد. این آزمایش برای تعیین کیفیت نسبی مصالح که دارای کانی مشابه هستند، به کار می‌رود. مقادیر سایش لس‌آنجلس برای مصالح داسیت بررسی شده برای ۱۰۰۰ دور چرخش ۴۵/۶٪ به دست آمده است.

### ساخت نمونه

بعد از تهیه درصدهای وزنی نمونه مطابق دانه‌بندی مشخص، ساخت آن از طریق تراکم آن در پنج لایه از طریق کوبه چوبی به وزن ۵/۲ کیلوگرم در قالب شکاف‌دار صورت می‌گیرد. قبل از ریختن مصالح در قالب برای چسباندن غشاء به اطراف قالب شکاف‌دار از مکش استفاده می‌شود. پس از تراکم آخرین لایه نمونه، مکش روی قالب برداشته شده و مکشی حدود ۱۵-۲۵ بر داخل نمونه اعمال می‌شود و سپس قالب شکاف‌دار از اطراف نمونه باز می‌شود. تا نمونه تحت مکش اعمالی پابرجا بماند و خراب نشود. سپس نمونه تحت تنش محدودکننده مؤثر از طرق اعمال مکش در داخل نمونه قرار می‌گیرد.

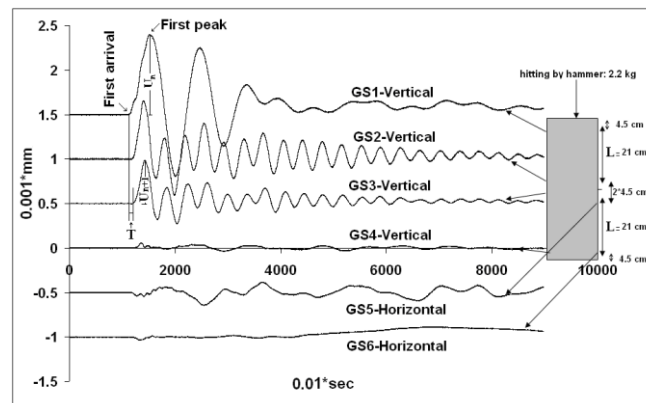
بدین صورت که نمونه تحت خلاء به میزان ۳۰-۸۰ kPa قرار می‌گیرد تا کاملاً هوای داخل نمونه تخلیه گردد و تحت تنش مؤثر تحکیمی که باید آزمایش در آن حالت انجام شود، به حالت پایداری برسد. پس از کامل شدن اعمال تنش محدودکننده بر نمونه، تجهیزات مورد نیاز برای اندازه‌گیری مدول برشی حداکثر و هم‌چنین دیگر حس‌گرهای اندازه‌گیر در اطراف و روی نمونه نصب می‌شود. در پایان این مرحله انجام آزمایش‌های ضربه و یا بارگذاری سیکلی روی نمونه خشک آغاز می‌شود.

## نتایج آزمایش‌ها

در این تحقیق آزمایش‌های اندازه‌گیری سرعت موج، ضریب پواسن و در نتیجه مدول برشی حداکثر و نسبت میرایی در سطح کرنش‌های کوچک در سه سطح تنش محدودکننده ۳۰، ۵۰ و ۸۰ kPa با دستگاه ابداعی و اندازه‌گیری مدول یانگ (مدول برشی) و میرایی طبق ASTM D 3999 در تنش محدودکننده ۵۰ kPa انجام شده است. علت انتخاب سطح تنش محصورکننده کم، علاوه بر محدودیت دستگاه سه‌محوری استفاده شده در اعمال تنش محصورکننده، سطح تنش کم مورد انتظار در محل‌های کاربرد آن‌ها است.

### مدول برشی در کرنش‌های کوچک

شکل ۵ نمونه‌ای از نتایج تاریخچه زمانی جابه‌جایی‌های ثبت شده در اثر اعمال ضربه برای GAP-SENSOR نصب‌شونده در راستای قائم روی نمونه نشان داده شده است که از آن به راحتی می‌توان مدت زمان رسیدن موج از دو حس‌گر متوالی را تعیین کرد. نتایج آزمایش تعیین سرعت موج برشی و ضریب پواسن اندازه‌گیری شده، مدول یانگ و مدول‌های برشی ضربه و سه محوری سیکلی برای مصالح بررسی شده در جدول‌های ۳ و ۴ ارائه شده است. وزن مخصوص آب در محاسبات  $10 \text{ kN/m}^3$  در نظر گرفته شده است.



شکل ۵. نمونه‌ای از نتایج تاریخچه زمانی جابه‌جایی همراه با تعریف اولین رسید موج و اولین قله

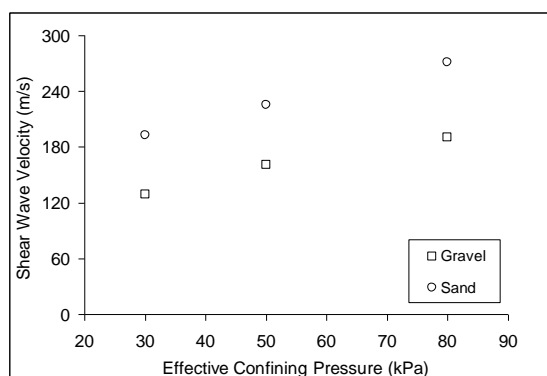
جدول ۳. آزمایش ضربه برای تعیین مدول برشی حداکثر برای داسیت شنی با دانسیته خشک حداکثر  $14/38 \text{ kN/m}^3$

تنش محصور کننده (kPa)	سرعت موج برشی (m/s)	ضریب پواسن اندازه گیری شده	مدول یانگ (kPa)	مدول برشی ضربه (kPa)	مدول برشی سه محوری سیکلی (kPa)
30	129.4	0.27	60929	24079	
50	160.6	0.23	90976	37093	36695
80	190.1	0.19	123263	51967	

جدول ۴. آزمایش ضربه برای تعیین مدول برشی حداکثر برای داسیت ماسه ای با دانسیته خشک حداکثر  $15/56 \text{ kN/m}^3$

تنش محدود کننده (kPa)	سرعت موج برشی (m/s)	ضریب پواسن اندازه گیری شده	مدول یانگ (kPa)	مدول برشی ضربه (kPa)	مدول برشی سه محوری سیکلی (kPa)
30	192.7	0.23	141807	57880	
50	225.4	0.19	187504	79058	75894
80	271.4	0.14	262270	114572	

مقایسه نتایج جدول های ۳ و ۴ نشان می دهد که مقادیر مدول برشی داسیت شنی نصف مقادیر نظیر داسیت ماسه ای است. این نتایج حاکی از اهمیت توأم دانسیته و دانه بندی است. شکل ۶ مقادیر سرعت موج برشی در تنش های محدود کننده مختلف برای مصالح بررسی شده را نشان می دهد. با افزایش تنش محدود کننده مقادیر سرعت موج برشی افزایش می یابد. همچنین کاهش ضریب پواسن اندازه گیری شده با افزایش تنش محدود کننده در مصالح بررسی شده مشاهده است.



شکل ۶. تغییرات سرعت موج برشی در برابر تنش محدود کننده مصالح ماسه ای و شنی داسیتی

## آزمایش‌های سه محوری سیکلی

مصالح ذکر شده در این تحقیق تحت آزمایش سه‌محوری سیکلی تحت شکل بار سینوسی طبق ASTM D 3999 برای اندازه‌گیری مدول و نسبت میرایی قرار گرفتند. در این تحقیق از GAP-SENSOR به‌عنوان وسیله اندازه‌گیری سرعت موج (در موقع اعمال ضربه) و همچنین اندازه‌گیری کرنش در مکان‌های مناسب روی نمونه هنگام آزمایش سه‌محوری سیکلی استفاده شده است. در هر مرحله از بارگذاری پله‌ای حداکثر تا ۴۰ سیکل بار سینوسی اعمال می‌شود. داده‌های سیکل‌های ۱ تا حداکثر ۴۰ ثبت و ذخیره می‌شود. سپس روند یاد شده در ترازهای کرنش بیش‌تر (حدود دو برابر مقدار دامنه کرنش اولیه) ادامه پیدا می‌کند تا حداکثر میزان کرنش محوری قابل حصول اندازه‌گیری شود. بارهای محوری، جابه‌جایی قائم و افقی موضعی نمونه به‌صورت هم‌زمان ثبت شدند. با تمهیدات به‌کارگرفته شده هر مؤلفه اندازه‌گیری شده در هر سیکل بارگذاری دارای حداقل ۵۰ سری قرائت داده است (استاندارد ASTM D 3999 حداقل نقطه داده مجاز در هر سیکل بارگذاری را ۴۰ تعیین کرده است). نتایج آزمایش‌ها شامل مقادیر مدول یانگ و برشی و نسبت میرایی در سیکل ۱۰ طبق استاندارد ASTM D 3999 محاسبه شدند. در نهایت با ضریب پواسن اندازه‌گیری شده، مقادیر مدول برشی قابل محاسبه است.

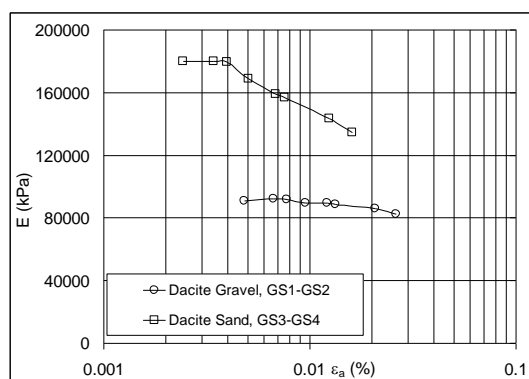
## نتایج آزمایش‌های خصوصیات دینامیکی مصالح

نتایج آزمایش‌های آزمایشگاهی E در برابر کرنش محوری،  $\epsilon_h$ ، (مقادیر سیکل ۱۰) برای مصالح بررسی شده در تنش محدودکننده ۵۰ kPa در شکل ۷ ارائه شده است. میزان تغییر مدول الاستیسیته برای دونوع خاک متفاوت است. به‌نظر می‌رسد که بخشی از این تفاوت‌ها مرتبط با میزان بسیج شدن قفل و بست دانه‌ای است. این عامل شاید یکی از دلایل انتخاب مصالح شنی یک‌نواخت با‌عنوان مذکور باشد.

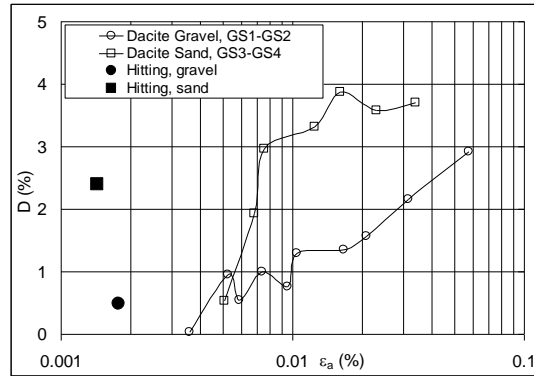
با استفاده از روش برون‌یابی، مقادیر مدول یانگ در کرنش‌های کوچک (یا مدول برشی حداکثر) تخمین زده می‌شود و با مقادیر نظیر به‌دست آمده از آزمایش سرعت موج مقایسه می‌شود. نتایج این مقایسه‌ها در جدول‌های ۳ تا ۴ ارائه شده است. نکته جالب تطابق بسیار خوب مدول برشی سه‌محوری سیکلی با مدول برشی به‌دست آمده از آزمایش ضربه (روش

ابداعی) است. به طور کلی مقادیر مدول برشی آزمایش ضربه اندکی بیش تر از مقادیر نظیر آزمایش سه محوری سیکلی با اندازه گیری موضعی کرنش ها با GAP-SENSOR است.

در شکل ۸ نسبت میرایی مصالح داسیت شنی و ماسه ای در برابر کرنش محوری در تنش محدودکننده ۵۰ kPa با استفاده از آزمایش های سه محوری سیکلی (ASTM D 3999) ارائه شده است. برای مصالح دانه ای بررسی شده در دانسیته خشک حداکثر، نسبت میرایی برای مصالح ماسه ای به علت قفل و بست دانه ای بیش تر، بزرگ تر از مقادیر نظیر برای مصالح شنی با دانه بندی بزرگ تر (در نتیجه قفل و بست دانه ای کم تر) است. نسبت میرایی مصالح در حالت ضربه هم از طریق اندازه گیری کاهش دامنه جابه جایی در ترازهای مختلف نمونه مشابه آزمایش ستون تشدید (ASTM D 4015) محاسبه شد. به طور کلی مقادیر نسبت میرایی در حالت ضربه بیش از مقادیر نظیر در حالت آزمایش سه محوری سیکلی است و این نتایج با تحقیقات آقای آرای و همکاران [۶] مطابقت دارد.



شکل ۷. مقادیر مدول یانگ در برابر کرنش محوری در تنش محدودکننده هم سان ۵۰ kPa برای مصالح داسیت شنی و ماسه ای با استفاده از آزمایش های سه محوری سیکلی



شکل ۸. مقادیر نسبت میرایی در برابر کرنش محوری در تنش محدودکننده هم‌سان  $50 \text{ kPa}$  برای مصالح داسیت شنی و ماسه‌ای با استفاده از آزمایش‌های سه‌محوری سیکلی و روش کاهش دامنه تحت ضربه

### نتیجه‌گیری

در این تحقیق تعدادی GAP-SENSOR و یک دستگاه ثبت داده با سرعت بسیار زیاد که روی دستگاه سه‌محوری سیکلی معمولی قطر بزرگ نصب شده، برای اندازه‌گیری خواص دینامیکی و مقایسه نتایج مصالح داسیت ماسه‌ای و شنی استفاده شده است. مهم‌ترین نتایج این تحقیق بدین شرح است:

- از مزیت‌های بسیار مهم GAP-SENSOR در مقایسه با دیگر اندازه‌گیرها، پایداری و سطح پایین نویز است. به طوری که برعکس المان خمشی و حتی شتاب سنج‌ها، تشخیص زمان رسیدن موج از یک حس‌گر به حس‌گر بعدی آسان است. ضمناً با توجه به نصب حس‌گرها با فاصله‌ای از کلاهک بالای نمونه، خطاهای مربوط به تماس نداشتن کلاهک بالایی با نمونه و ناسازگاری حذف می‌شود.
- با افزایش تنش محدودکننده مقادیر سرعت موج برشی افزایش می‌یابد.
- مقادیر مدول برشی داسیت شنی در دانسیته خشک حداکثر نصف مقادیر نظیر داسیت ماسه‌ای در دانسیته خشک حداکثر مربوط است.

- استفاده از ایده کاهش دامنه جابه‌جایی (مشابه ایده کاهش دامنه ارتعاش در آزمایش ستون شدید در حالت ارتعاش آزاد) در ترازهای مختلف نمونه برای محاسبه میرایی تحت ضربه از ابتکارات موجود در این تحقیق است.
- در روش ابداعی با توجه به ماهیت ضربه‌ای نیروی اعمال شده (سرعت بارگذاری زیاد یا فرکانس بیش‌تر) مقادیر مدول برشی و خصوصاً نسبت میرایی اندکی بیش‌تر از مقادیر نظیر در آزمایش‌های سه‌محوری سیکلی تحت میزان بارگذاری کوچک‌تر است.
- آزمایش‌های اندازه‌گیری سرعت موج حداکثر در تنش محدودکننده ۵۰ kPa و نسبت میرایی حاصل از روش ابداعی حاضر در تطابق بسیار مناسبی با اندازه‌گیری مدول برشی و نسبت میرایی آزمایش سه‌محوری سیکلی با اندازه‌گیری موضعی کرنش‌ها با GAP-SENSOR است. روش مشابهی برای دیگر تنش‌های محصورکننده قابل انتظار است. این نتایج به ما اطمینان می‌دهد که دستگاه اختراعی مذکور قابلیت استفاده برای همه نمونه‌های خاکی و سنگ‌ریزه‌ای را دارد.
- از دیگر مزایای این دستگاه و روش ارائه شده در این تحقیق می‌توان به صرفه‌جویی اقتصادی چشم‌گیری (زمان و هزینه) خصوصاً در بخش آزمایش‌های ژئوتکنیک سد خاکی و سنگ‌ریزه‌ای با توجه به استفاده از نمونه بدون تاریخچه بارگذاری چشم‌گیر برای ادامه آزمایش‌ها تحت شرایط خشک و اشباع اشاره کرد.

### تشکر و قدردانی

این تحقیق با کمک مالی مرکز تحقیقات راه، مسکن و شهرسازی و امکانات آزمایشگاهی آزمایشگاه ژئوتکنیک دانشکده مهندسی عمران دانشگاه توکیو کشور ژاپن انجام شد که بدین وسیله از آن‌ها تشکر و قدردانی می‌کنیم.

### منابع

1. ASTM C127, "Test method for density, relative density (specific gravity), and absorption of coarse aggregate" (2012).

2. ASTM C535, "Standard test method for resistance to degradation of large-size coarse aggregate by abrasion and impact in the Los Angeles machine" (2012).
3. ASTM D 4015, "Standard test methods for modulus and damping of soils by the Resonant-Column method, Reapproved 2000" (1992).
4. ASTM D3999, "Standard test methods for the determination of the modulus and damping properties of soils using the cyclic triaxial apparatus" (2006).
5. ASTM D698, "Standard test methods for laboratory compaction characteristics of soil using standard effort" (600 kN-m/m<sup>3</sup>) (2012).
6. Aghaei Araei A., Razeghi H. R., Tabatabaei S. H., Ghalandarzadeh A., "Loading frequency effect on stiffness, damping and cyclic strength of modeled rockfill materials", *Soil Dynamics and Earthquake Engineering*, 33 (2012) 1-18.
7. Alramahi B., Alshibli K.A., Fratta D., Trautwein, S., "A suction-control apparatus for the measurement of P and S-wave velocity in soils", *Geotechnical Testing Journal (GTJ), ASTM*. Vol. 31(1) (January) (2008) 12-23, DOI: 10.1520/GTJ100646.
8. Choi J.S., Song K.I., Cho G.C., Lee S.W., "Characterization of unsaturated particulate materials using elastic and electromagnetic waves", *Key Eng. Mater.*, Vol. 270-273 (2004)1653-1658.
9. Fratta D., Alshibli K.A., Tanner W.M., Roussel L., "Combined TDR and P-wave velocity measurements for the determination of in situ soil density", *Geotech. Test. J.*, 28(6) (2005) 553-563.
10. Ham A., Wang J., Stammer J.G., "Relationships between particle shape characteristics and macroscopic damping in dry sands", *Journal of*

Geotechnical and Geoenvironmental Engineering, Posted ahead of print  
16 November(2011). doi.org/10.1061/(ASCE)GT.1943-5606.0000663

11. Kokusho T., Cyclic triaxial test of dynamic soil properties for wide strain range. *Soils and Foundations*, 20(1980) 45-60.
12. Kokusho T., Tanaka Y., "Dynamic properties of gravel layers investigated by in situ freezing sampling", *Proceedings of the ASCE Specialty conference on Ground Failures under Seismic Conditions*, Atlanta (1994) 121-40.
13. Mavko G., Mukerji T., Dvorkin J., "The Rocks Physics", *Handbook*, Cambridge University Press, Cambridge (1998).
14. Richart F.E., Hall J.R., Wood R.D., "Vibration of Soils and Foundations", Prentice Hall (1970).
15. Rollins K., M., Evans M.D., Diehl N.B., Daily W.D., "Shear modulus and damping relationships for gravels, *Journal of Geotechnical and Geoenvironmental Engineering*", ASCE, 124(5) (1998) 398-405.
16. Santamarina J.C., Klein K.A., Fam M.A., "Soils and Waves: Particulate Materials Behavior, Characterization and Process Monitoring", New York, John Wiley&Sons, USA (2001).
17. Seed H.B., Idriss I.M., "Soil moduli and damping factors for dynamic analysis", Report No. EERC 70- 10, University of California, Berkeley (1970).
18. Seed H.B., Wong R.T., Idriss I.M., Tokimatsu K., "Moduli and damping factors for dynamic analyses of cohesionless soils", *J. Geotech. Eng.*, 112(11) (1986) 1016-1032.
19. Vucetic M., Dobry R., "Effect of soil plasticity on cyclic response", *Journal of Geotechnical Engineering*, Vol.117 (1991) 89-107.

۲۰. آقای آرابی ع.، ارزیابی استفاده از حس‌گر غیرتماسی در اندازه‌گیری مدول برشی حداکثر در خاک‌های دانه‌ای و شنی لایه‌بندی شده، گزارش تحقیقاتی، شماره نشر: گ-۷۰۲، مرکز تحقیقات راه، مسکن و شهرسازی (۱۳۹۳).
۲۱. آقای آرابی ع.، دستگاه اندازه‌گیری مدول برشی حداکثر مصالح سنگ‌ریزه‌ای و سنگی با استفاده از *GAP-SENSOR* با فرکانس پاسخ بالا، شماره ثبت اختراع: ۶۶۵۷۴، تاریخ ثبت اختراع: ۱۳۸۹/۰۶/۲۹ (۱۳۸۹).
۲۲. آقای آرابی ع.، امکان‌سنجی نصب دستگاه اندازه‌گیری مدول برشی حداکثر (*GAP-SENSOR*) با فرکانس پاسخ بالا) بر روی دستگاه سه‌محوری قطر بزرگ برای مصالح ماسه‌ای و خرده لاستیک، گزارش طرح پژوهشی، معاونت آموزش و برنامه‌ریزی، بنیاد ملی نخبگان، پاییز (۱۳۹۱).
۲۳. آقای آرابی ع.، رازقی ح ر.، هاشمی طباطبایی س.د.، قلندرزاده ع.، بررسی اثر محتوای فرکانسی بر خواص خاک‌های درشت‌دانه، شماره قرارداد ۱۷۷۵-۱ (۱۳۸۷) پروژه تحقیقاتی، مرکز تحقیقات ساختمان و مسکن (۱۳۸۸).
۲۴. آقای آرابی ع.، هاشمی طباطبایی س.د.، قلندرزاده ع.، ارزیابی مدول برشی و میرایی مصالح شنی، پروژه تحقیقاتی، شماره قرارداد ۴۴۶۹-۳ (۱۳۸۶/۶/۲۵)، مرکز تحقیقات ساختمان و مسکن (۱۳۸۷).